

# Projekt Egzaminacyjny

Jan Milewczyk, Maciej Wojciechowski, Kajetan Lach

December 3, 2024

## 1 Analizy log-zwrotów spółek

### 1.1 Vigo Photonics

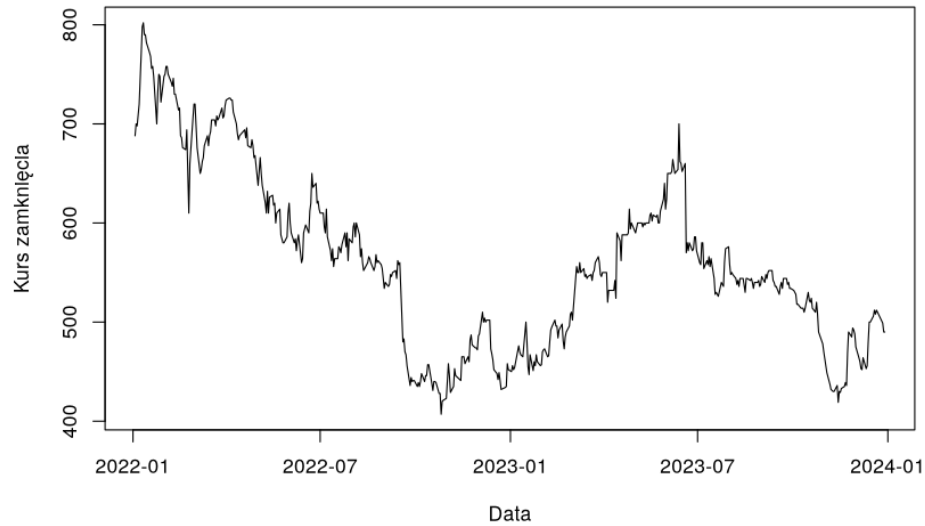
#### 1.1.1 Wstęp

**Vigo Photonics** to polskie przedsiębiorstwo specjalizujące się w wytwarzaniu materiałów i przyrządów półprzewodnikowych do zastosowań fotonicznych i mikroelektronicznych. Spółka jest liderem na światowym rynku fotonowych detektorów średniej podczerwieni, a wszystkie produkty opiera na własnej, unikalnej technologii.

#### 1.1.2 Analiza log-zwrotów spółki (Vigo Photonics)

Pierwszy rozdział zawiera analizę log-zwrotów spółki.

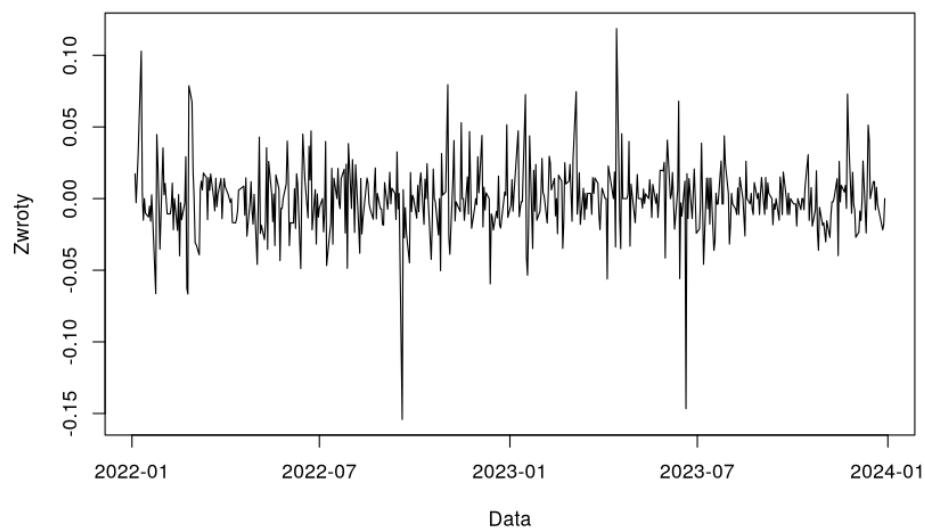
**Wykresy kursów zamknięcia oraz log-zwrotów:** Poniższy wykres ilustruje zmianę cen zamknięcia akcji w czasie.



Zmianę log-zwrotów, wyliczonych według wzoru

$$r_1 = \ln \frac{S_0}{S_1}, r_2 = \ln \frac{S_2}{S_1}, \dots, r_n = \ln \frac{S_n}{S_{n-1}}$$

gdzie  $s_0, s_1, \dots, s_n$  są kursami zamknięcia z kolejnych dni, na osi czasu ilustruje wykres poniżej.



**Wartość oczekiwana:** Zakładając, że log-zwroty  $r_1, r_2, \dots, r_n$  są niezależnymi realizacjami zmiennej losowej  $X$ , wyliczamy  $\mu$  przy użyciu nieobciążonego estymatora wartości oczekiwanej:

$$E(\bar{X}_n) = \frac{1}{n} \sum_{i=1}^n X_i = \mu$$

w wyniku czego otrzymujemy wynik

$$\mu = -0.0006787669$$

**Wariancja i odchylenie standardowe:** Korzystając ze wzoru na nieobciążony estymator wariancji

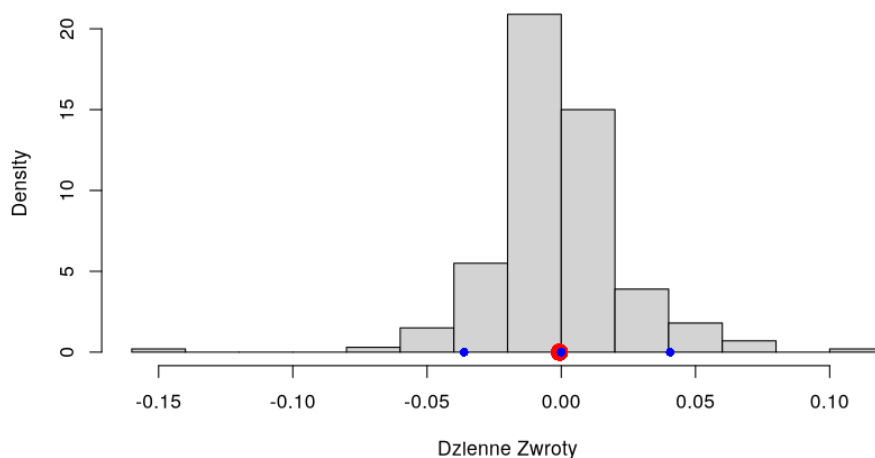
$$\sigma^2 = \frac{1}{n-1} \sum_{i=1}^n (X_i - \bar{X}_n)^2$$

otrzymujemy  $\sigma^2 = 0.0006189792$  oraz  $\sigma = 0.02487929$ .

**Kwantyle:** Z wykorzystaniem klasycznego estymatora kwantyli wyestymowano kwantyle rzędu  $\alpha = 5\%, 50\% \text{ i } 95\%$ . Wyniki przedstawione zostały w tabeli poniżej:

| $\bar{x}_n$   | $s_n^2$      | $s_n$      | $q(5\%)$    | $q(50\%)$ | $q(95\%)$  |
|---------------|--------------|------------|-------------|-----------|------------|
| -0.0006787669 | 0.0006189792 | 0.02487929 | -0.03620640 | 0         | 0.04055989 |

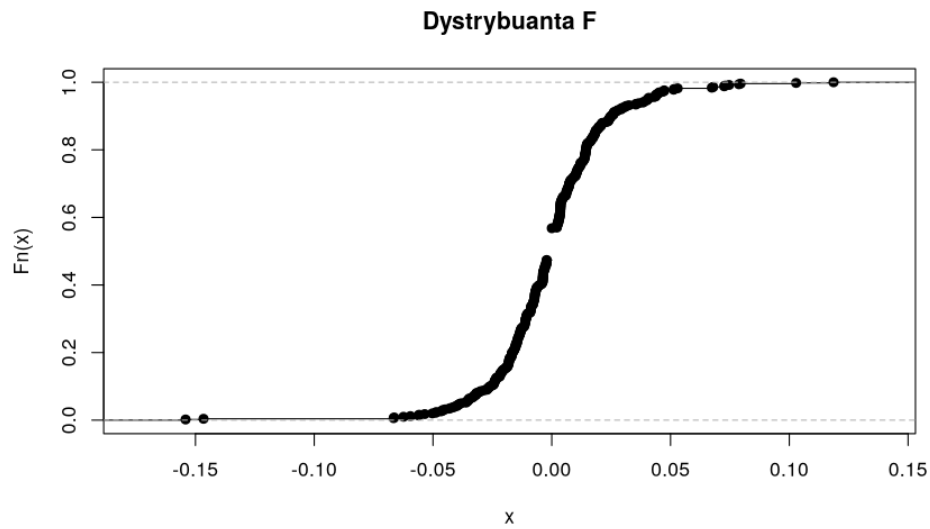
**Histogram log-zwrotów:** Na histogramie dziennych log-zwrotów cen akcji na czerwono i niebiesko oznaczono odpowiednio wartość wyestymowanej średniej oraz wartości kwantyli przedstawionych wcześniej.



**Dystrybuanta:** Z wykorzystaniem dystrybuanty empirycznej jako nieobciążonego estymatora

$$\hat{F}_n(x) = \frac{1}{n} \sum_{i=1}^n 1_{\{x_i \leq x\}} = \left( \frac{\text{liczba elementów w próbie} \leq x}{n} \right)$$

estymujemy dystrybuantę F zaprezentowaną na wykresie poniżej

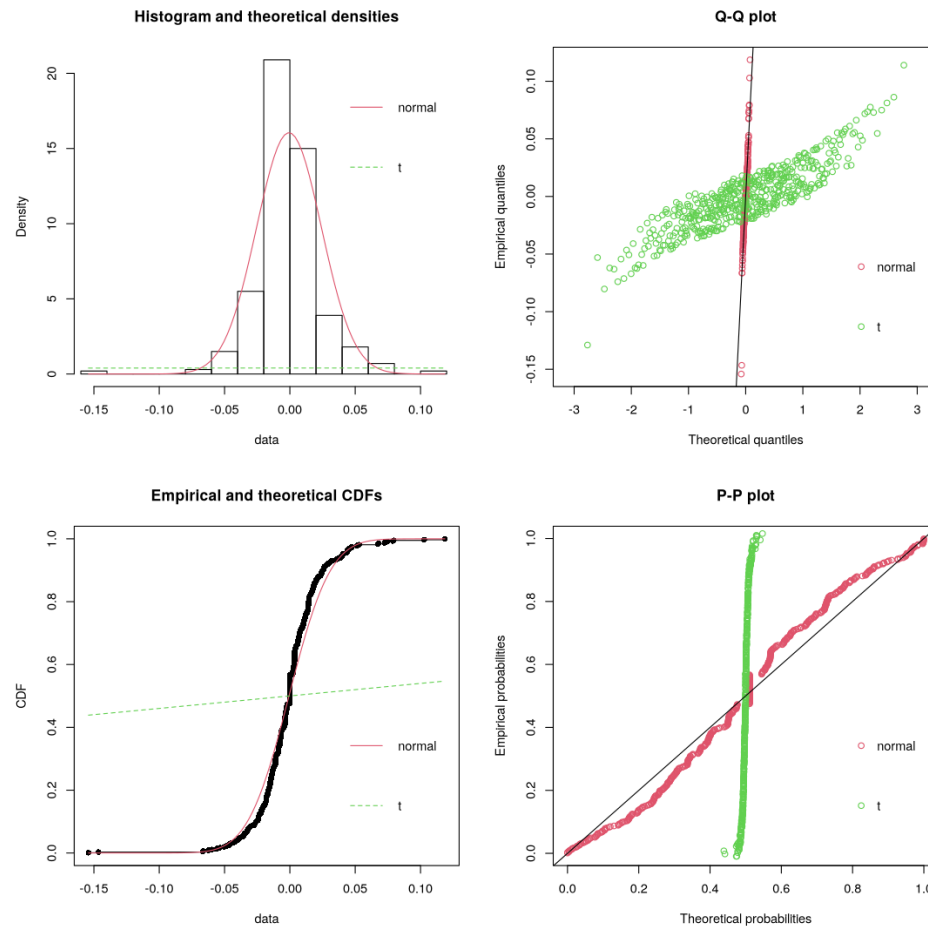


**Analiza dobroci dopasowania rozkładu normalnego i t-Studenta:**  
 Korzystając z estymatora największej wiarygodności (MLE) parametru estymujemy parametry rozkładu normalnego i t-Studenta.

| $m$           | $s$       | $df$     |
|---------------|-----------|----------|
| -0.0006787669 | 0.0248544 | 314.3698 |

### 1.1.3 Wykresy diagnostyczne

Poniższe wykresy prezentują kolejno porównania: histogram-gęstość wybranych rozkładów, kwantyl-kwantyl, dystrybuanta empiryczna-dystrybuanta teoretyczna wybranych rozkładów oraz prawdopodobieństwo teoretyczne wybranych rozkładów-prawdopodobieństwo empiryczne.



Na ich podstawie można stwierdzić, że rozkład normalny lepiej dopasowuje się do danych.

**Weryfikacja wyboru z wykorzystaniem statystyk oraz kryteriów informacyjnych:** Poniższe tabele prezentują wyniki testów statystycznych oraz kryteriów informacyjnych dla rozkładów normalnego i t-Studenta.

| Statystyki         | Rozkład normalny | Rozkład t-Studenta |
|--------------------|------------------|--------------------|
| Kolmogorov-Smirnov | 0.08251589       | 0.469477           |
| Cramer-von Mises   | 1.18780300       | 39.177553          |
| Anderson-Darling   | 6.95700925       | 183.184800         |

| Kryteria | Rozkład normalny | Rozkład t-Studenta |
|----------|------------------|--------------------|
| AIC      | -2271.782        | 922.0439           |
| BIC      | -2263.353        | 926.2585           |

Powyższe wyniki potwierdzają, że rozkład normalny lepiej dopasowuje się do danych.

**Test hipotezy równości rozkładów metodą Monte Carlo:** Testujemy hipotezę zerową o równości dystrybuant

$$H_0 : F = F_0$$

przeciwko hipotezie alternatywnej (kontrhipotezie)

$$H_1 : F \neq F_0$$

gdzie  $F_0$  jest dystrybuantą rozkładu normalnego wybranego w poprzedniej podsekcji, a  $F$  dystrybuantą nieznaną.

Do przetestowania hipotezy zerowej o równości dystrybuant wykorzystamy metodę Monte Carlo przy użyciu statystyki Kołmogorowa-Smirnowa.

W tym celu generujemy  $N = 10000$  prób z rozkładu normalnego o parametrach

$$m = -0.0006787669 \text{ oraz } s = 0.0248544$$

wyestymowanych wcześniej oraz obliczamy wartość statystyki Kołmogorowa-Smirnowa dla każdej z nich.

Następnie obliczamy prawdopodobieństwo

$$p = P(D_n > d_n)$$

gdzie  $D_n$  to wartość statystyki dla wygenerowanych prób a  $d_n$  to jej wartość dla log-zwrotów spółki.

Ustalamy poziom istotności  $\alpha = 0.05$  i sprawdzamy czy  $p < \alpha$ . W naszym przypadku

$$p = 0.0025 < \alpha = 0.05$$

co pozwala nam odrzucić hipotezę zerową na rzecz hipotezy alternatywnej.

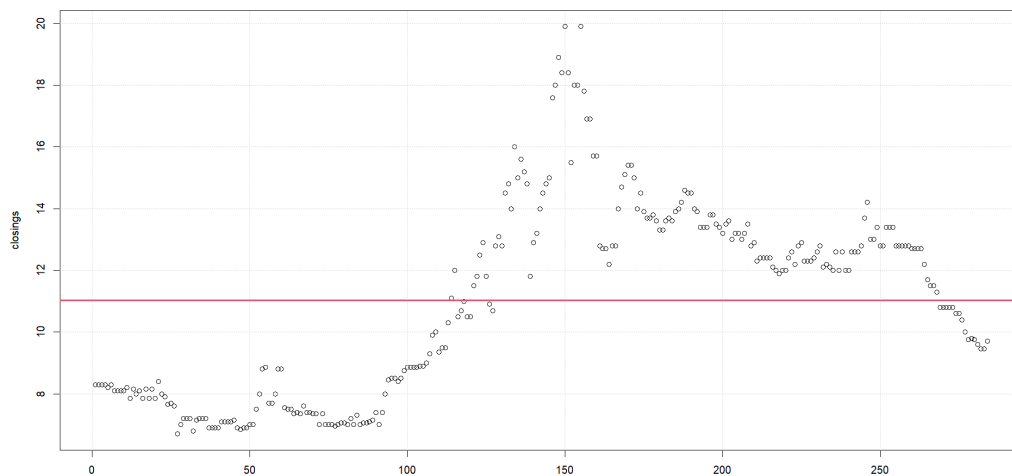
## 1.2 Digitree

### 1.2.1 Wstęp

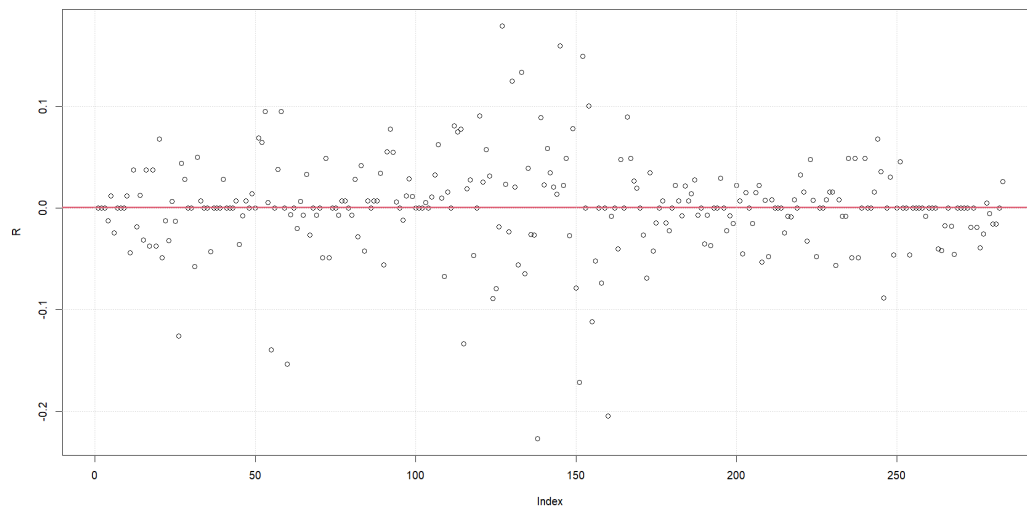
Digitree to polska spółka technologiczna specjalizująca się w kompleksowych rozwiązaniach z zakresu digital marketingu i wsparcia sprzedaży online.

### 1.2.2 Analiza log-zwrotów spółki DIGITREE

**Spółka DIGITREE:** Poniżej przedstawiam wykres kursów zamknięcia wybranej spółki



Poniżej przedstawiam wykres log-zwrotów wybranej spółki



**Podstawowa analiza statystyczna log-zwrotów:** Wartości log-zwrotów zostały obliczone jako różnice logarytmiczne dziennych kursów zamknięcia. Poniżej przedstawiono podstawowe statystyki log-zwrotów:

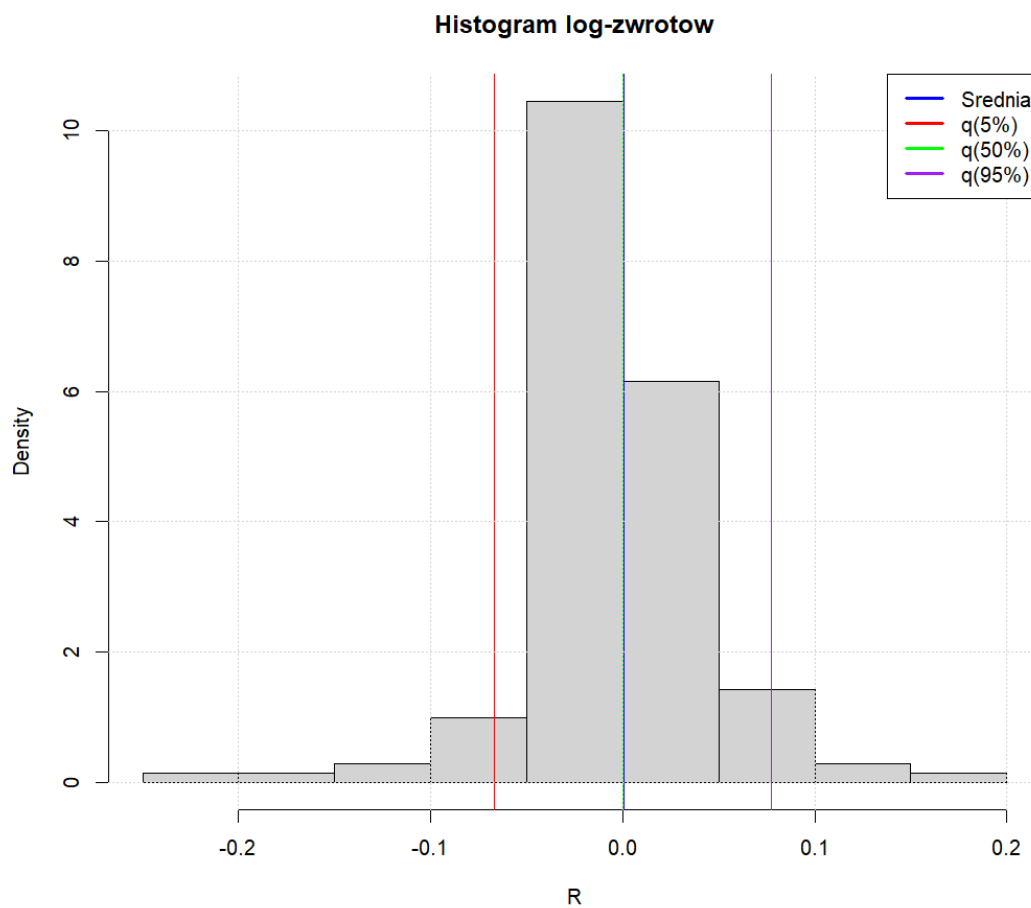
- Średnia log-zwrotów:  $\bar{x}_n = 0.0005507787$
- Wariancja log-zwrotów:  $s_n^2 = 0.0022445$
- Odchylenie standardowe log-zwrotów:  $s_n = 0.04737616$

Table 1: Estymacja parametrów log-zwrotów

| $\bar{x}_n$  | $s_n^2$   | $s_n$      | $q(5\%)$    | $q(50\%)$  | $q(95\%)$  |
|--------------|-----------|------------|-------------|------------|------------|
| 0.0005507787 | 0.0022445 | 0.04737616 | -0.06694173 | 0.00000000 | 0.07764551 |

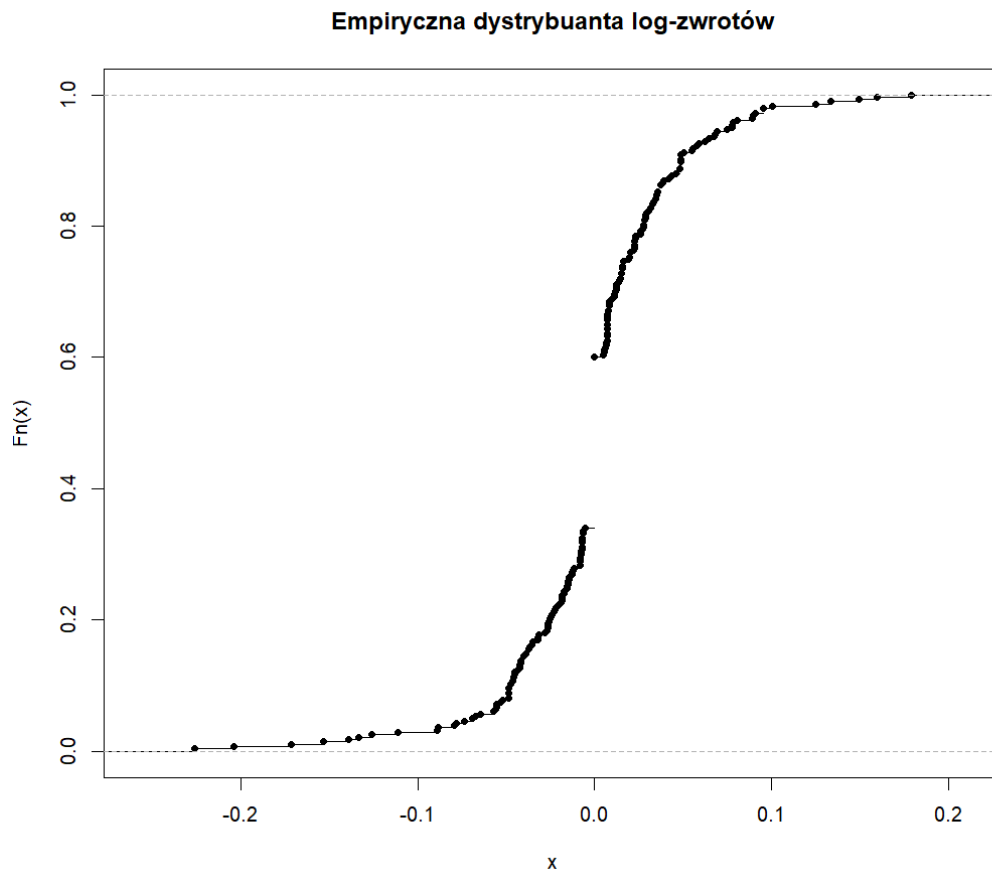
Kwantyle 5

**Histogram log-zwrotów z zaznaczoną średnią i kwantylami:** Poniżej zamieszczono histogram log-zwrotów z zaznaczonymi wartościami średniej oraz kwantyli 5





**Dystrybuanta empiryczna log-zwrotów:** Estymacja dystrybuanty empirycznej dla log-zwrotów została przeprowadzona przy użyciu wzoru empirycznej dystrybuanty  $F_n(x)$ . Wykres dystrybuanty empirycznej log-zwrotów znajduje się poniżej.



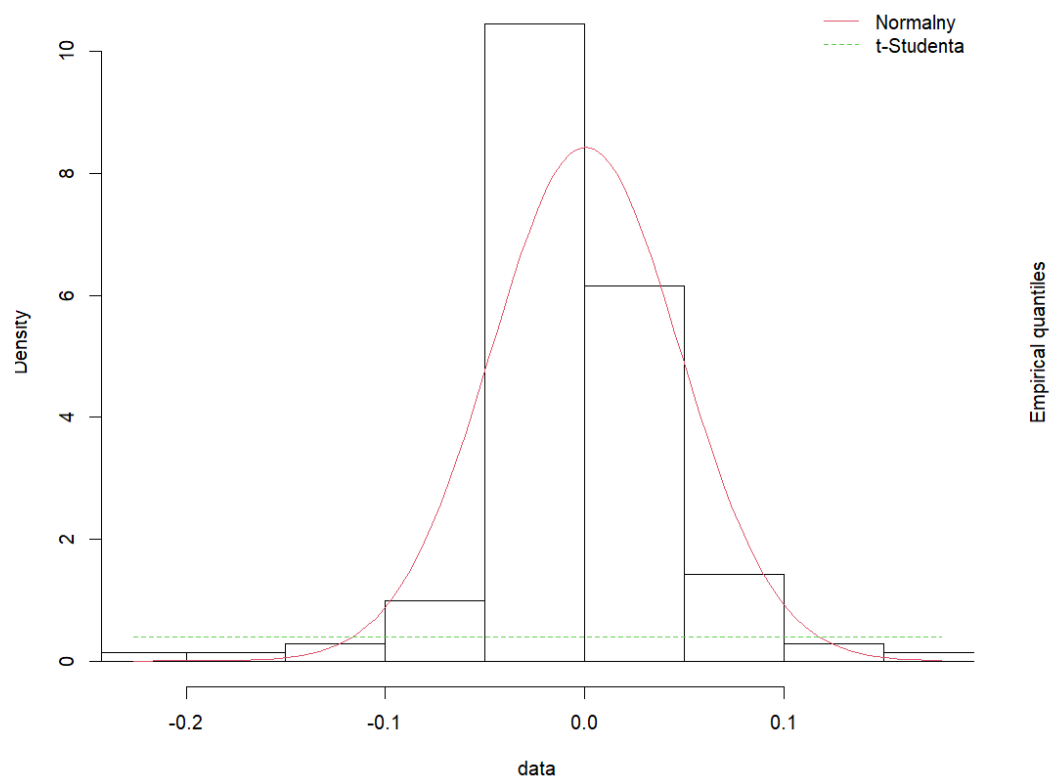
### 1.2.3 Analiza dobroci dopasowania rozkładów

**Estymacja parametrów rozkładu normalnego i t-Studenta:** Parametry rozkładu normalnego i t-Studenta zostały wyestymowane przy użyciu estymatora największej wiarygodności (MLE):

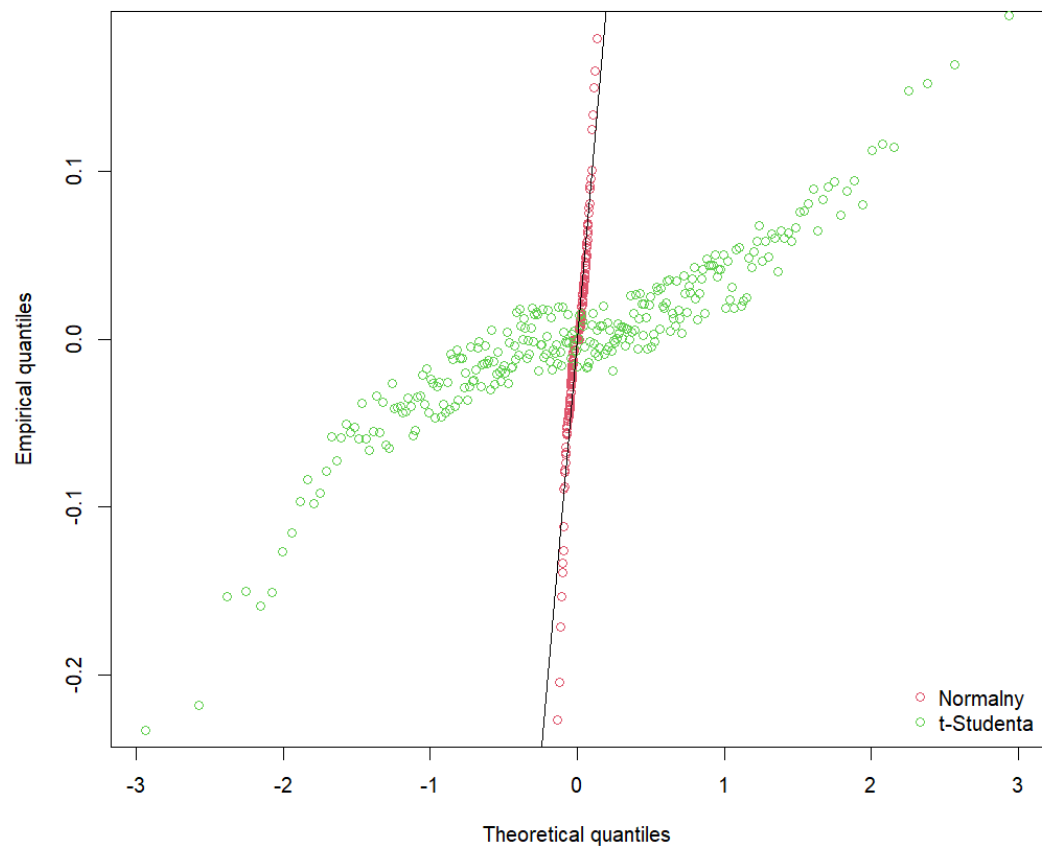
- Rozkład normalny: średnia = 0.0005507787, odchylenie standardowe = 0.0472923802
- Rozkład t-Studenta: liczba stopni swobody = 307.2041

**Wykresy diagnostyczne:** Poniżej przedstawiono wykresy diagnostyczne dla dopasowania rozkładów normalnego i t-Studenta do danych log-zwrotów, umożliwiające ocenę jakości dopasowania.

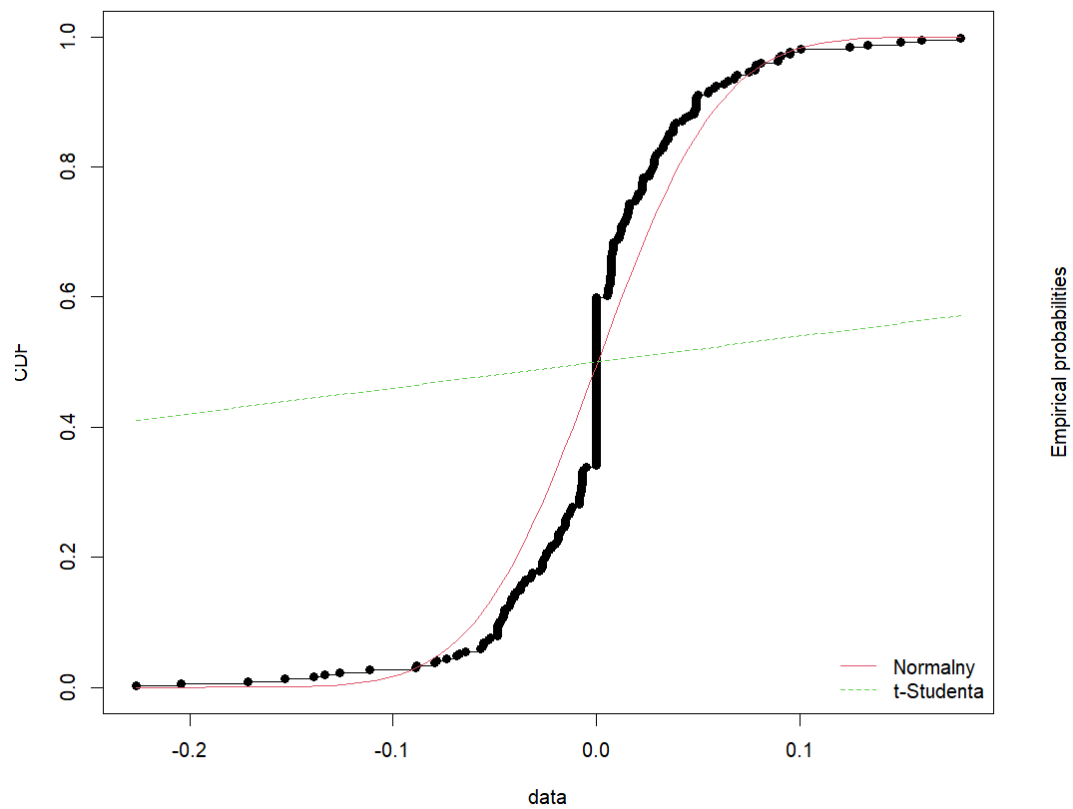
### Porównanie dopasowania - gestosc



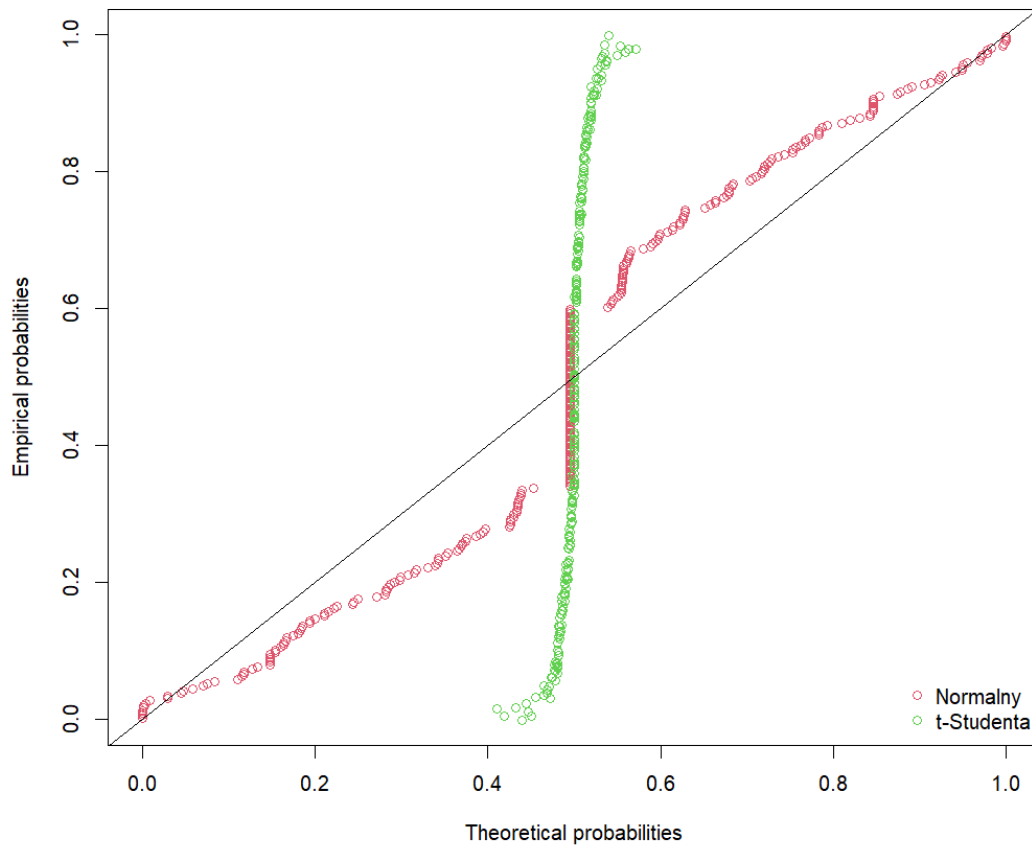
### Porównanie dopasowania - kwantyle



### Porównanie dopasowania - dystrybuanta



### Porównanie dopasowania - prawdopodobieństwo



### 1.3 Ocena dopasowania rozkładów

Na podstawie wykresów diagnostycznych oraz statystyk dopasowania:

- Statystyki dla rozkładu normalnego:  $KS = 0.1561$ ,  $CM = 1.8659$ ,  $AD = 9.3673$ ,  $AIC = -919.9766$ ,  $BIC = -912.6857$
- Statystyki dla rozkładu t-Studenta:  $KS = 0.4424$ ,  $CM = 21.0334$ ,  $AD = 99.0999$ ,  $AIC = 523.2149$ ,  $BIC = 526.8603$

Wyniki sugerują, że rozkład normalny lepiej dopasowuje się do danych log-zwrotów niż rozkład t-Studenta. Wybór rozkładu normalnego uzasadniają niższe wartości AIC i BIC oraz lepsze dopasowanie na wykresach diagnostycznych.

**Test hipotezy o równości rozkładów:** Przeprowadzono test hipotezy o równości rozkładów dla wybranego rozkładu normalnego, wykorzystując statystykę Kolmogorova-Smirnova (KS). Wyniki testu przedstawiono poniżej:

- **Statystyka testowa  $D$ :** Obliczona wartość wynosi  $D = 0.1561313$ . Statystyka  $D$  mierzy maksymalną różnicę pomiędzy dystrybucją empiryczną danych a teoretyczną dystrybucją rozkładu normalnego. Wysoka wartość  $D$  wskazuje na większą różnicę, co może sugerować, że dane nie pochodzą z badanego rozkładu.
- **P-wartość ( $p$ ):** Obliczona p-wartość wynosi  $p = 0$ . Oznacza to, że przy założeniu prawdziwości hipotezy zerowej, prawdopodobieństwo uzyskania tak dużej lub większej różnicy  $D$  wynosi praktycznie zero. W rezultacie, hipoteza zerowa o zgodności rozkładu danych z rozkładem normalnym zostaje odrzucona na dowolnym poziomie istotności.

#### **Interpretacja:**

- Obliczona wartość statystyki  $D$  sugeruje, że istnieją istotne różnice pomiędzy rozkładem danych a teoretycznym rozkładem normalnym.
- Niska p-wartość ( $p = 0$ ) wskazuje, że te różnice są statystycznie istotne. Oznacza to, że dane najprawdopodobniej nie pochodzą z badanego rozkładu normalnego.

### **1.4 Wawel**

## **2 Analiza łącznego rozkładu log-zwrotów**